

4-ary SWSK 시스템에서 웨이브릿에 대한 성능분석

정태일* □ 김중남*

*부경대학교 전자컴퓨터정보통신공학부

Performance Analysis for Wavelet in 4-ary SWSK

Tae-Il Jeong* □ Jong-Nam Kim*

*Div. of Electronic, Computer and Telecommunication Eng. Pukyong University.

E-mail : tijeong@daum.net

요 약

본 논문에서는 4-ary SWSK(4-ary scaling wavelet shift keying) 시스템에서 웨이브릿에 대한 성능을 분석코자 한다. 기존의 4-ary SWSK 시스템에서 비트 에러확률이 유도된 바 있다. 그래서 기존의 비트 에러확률과 부호 에러확률을 이용하여 Daubechies, Biorthogonal, Coiflet, Symlet 웨이브릿에 대한 비트 및 부호 에러확률을 실험적으로 구하였다. 또 웨이브릿의 탭 개수와 주기 변화에 대해서 그 성능을 분석하였다.

키워드

4-ary SWSK(4-ary scaling wavelet shift keying), Probability of bit error, Scaling function, Wavelet

1. 서 론

이산 웨이브릿 변환은 수학적 이론의 발전과 더불어 음성 신호처리, 영상 신호처리 등 여러 분야 많이 응용되고 있다[1-3]. 연속 웨이브릿 변환이 정규 직교성을 지니지 않은 웨이브릿에 의한 연산이며, 따라서 역변환 과정이 복잡하며, 까다로운 허용 가능조건 및 경우에 따라 복원시 신호 또는 이미지의 미세한 정보손실이 불가피하다. 반면 이산 웨이브릿은 정규 직교성을 지니는 웨이브릿을 이용하여 신호의 완전한 복원이 가능하다.

정 등[4]은 스케일링 함수와 웨이브릿을 이용한 새로운 웨이브릿 편이 변조 시스템을 제안하였다. 이 방법은 스케일링 함수를 1로, 웨이브릿을 0으로 변조하는 방법이다. 그러나 이 방식은 후처리 과정이 필요한 단점이 있다. 또한 정[5]등은 2진 웨이브릿 편이 변조 시스템에서 Daubechies 웨이브릿 계열을 중심으로 눈 모양(eye pattern)에 의한 방법과 비트 에러 확률에 의한 방법으로서 웨이브릿의 성능을 분석하였다. 그리고 정 등[6]은 스케일링 함수와 웨이브릿 그리고 이 두 신호를 반전시켜서 생성된 4개의 반송파를 사용하는 2비트 변조방법을 제안하였다. 2비트 변조방법인 4-ary 스케일링 웨이브릿 편이변조(4-ary SWSK : 4-ary scaling wavelet shift keying) 시스템을 정의하였고, QPSK (quadrature phase shift keying) 시스템으로

부터 정의된 시스템의 비트 에러 확률과 부호 에러 확률을 유도하였다. 그래서 기존의 QPSK 방식과 MFSK (M-ary frequency shift keying) 방식에 대하여 비트 에러 확률 및 부호 에러 확률로서 그 성능을 분석하였다.

본 논문에서는 4-ary SWSK 시스템에서 웨이브릿에 대한 성능을 분석코자 한다. 참고문헌 [6]에서 유도된 비트 에러 확률을 이용하여 Daubechies, Biorthogonal, Coiflet, Symlet 웨이브릿에 대한 비트 에러 확률을 실험적으로 구하였다. 또 웨이브릿의 탭 개수와 주기 변화에 대해서 그 성능을 분석하였다. 실험결과 4-ary SWSK 시스템에서 Coiflet, Symlet 웨이브릿이 비트 에러 확률면에서 좋은 성능을 보였고, 두 웨이브릿의 성능은 비슷하였다.

II. 관련이론

2.1 웨이브릿 변환 (Wavelet Transform)

함수 $f(t)$ 가 $L^2(R)$ 에 속한다면, 함수 $f(t)$ 의 이중적분의 놈(norm)은 유한이며 다음과 같은 관계식이 성립한다.

$$\|f(t)\|^2 = \left(\int_{-\infty}^{+\infty} |f(t)|^2 \right)^{1/2} < \infty \quad (1)$$

두 함수 $f(t)$ 와 $g(t)$ 가 각각 $L^2(R)$ 에 속하며, 두 함수의 내적이 다음과 같을 때 두 함수는 서로 직교(orthogonal)한다.

$$\langle f(t), g(t) \rangle = \int f(t)g(t-k)dt = \begin{cases} A, & k=0 \\ 0, & k \neq 0 \end{cases} \quad (2)$$

위 식에서 상수=1인 경우, 함수 $f(t)$ 와 $g(t)$ 는 정규 직교(orthonormal)라 정의한다.

이산 웨이브릿 변환에 있어서 함수의 직교성은 매우 중요한 의미를 가진다. 함수 $f(t)$ 는 정규 직교 기저인 스케일 함수 $\phi_k(t)$ 를 이용하면 다음과 같이 정의될 수 있다.

$$f(t) = \sum_k a_k \phi_k(t), \quad a_k = |a_k|^2 < \infty \quad (3)$$

이산 웨이브릿 변환은 위의 식(3)을 기반으로 정의된다. 즉, 이산 웨이브릿 변환은 정규 직교 기저인 스케일 함수 $\phi_j(t)$ 와 웨이브릿 $\psi_j(t)$ 를 이용하여 함수 $f(t)$ 를 표현하는 방법이다. 정규 직교 기저를 이루는 웨이브릿은 다음과 같이 정의한다.

$$\psi_{jk} = 2^{j/2} \psi(2^j t - k), \quad j, k \in \mathbb{Z} \quad (4)$$

따라서 정규 직교 기저 웨이브릿을 이용한 웨이브릿 변환은 다음과 같이 정의한다[1].

$$W_{jk} = \langle f(t), \psi_{jk}(t) \rangle \quad (5)$$

웨이브릿 변환은 정규 직교 기저를 이용한 이산 웨이브릿 변환과 연속 웨이브릿 변환의 두 분야로 나뉘어져 발전되었다. 웨이브릿의 정규 직교성에 따라 이산 웨이브릿 변환과 연속 웨이브릿 변환으로 나뉘어지며 각각 다른 응용분야를 형성하고 있다. 이산 웨이브릿의 경우, 저주파 계수(low frequency coefficients)는 수식 (6)와 같다[2,8].

$$\sum_n g_0(n) = \sqrt{2} \quad (6a)$$

$$\sum_n g_0^2(n) = 1 \quad (6b)$$

그리고 고주파 계수(high frequency coefficients)는 수식 (7)와 같다.

$$\sum_n g_1(n) = 0 \quad (7a)$$

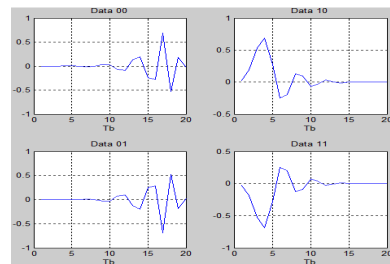
$$\sum_n g_1^2(n) = 1 \quad (7b)$$

III. 웨이브릿 성능분석

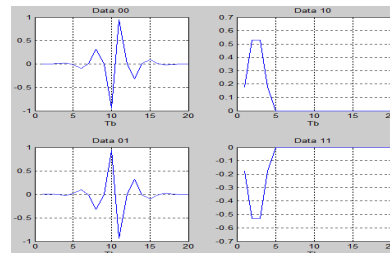
본 논문에서 사용한 웨이브릿은 Daubechies, Biorthogonal, Coiflet, Symlet 네 종류를 사용하였다. 모의실험은 PC상에서 Matlab 프로그램을 사용하여 수행하였다.

그림 1은 필터 탭의 개수가 20개일 때, 본문에서 사용한 Daubechies, Biorthogonal, Coiflet,

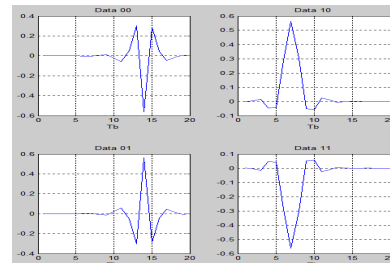
Symlet 웨이브릿에 대한 4개의 반송파를 나타내었다. 그림 (a)의 Daubechies 웨이브릿에서 (0,0) 위치에 있는 파형은 수식 (8)에서 $s_{00}(t)$ 에 해당하고, (0,1) 위치에 있는 파형은 수식 (8)에서 $s_{10}(t)$ 에 해당한다. (1,0) 위치와 (1,1) 위치에 있는 파형은 각각 $s_{01}(t)$, $s_{11}(t)$ 에 해당한다. 여기서 Coiflet과 Symlet 웨이브릿의 파형의 위치는 Daubechies, Biorthogonal 웨이브릿에 비해 1주기의 중간에 위치함을 알 수 있다. 특히, 그림 1(b)의 Biorthogonal 웨이브릿에서 $s_{10}(t)$, $s_{11}(t)$ 의 파형은 왼쪽으로 많이 치우쳐 있음을 알 수 있다.



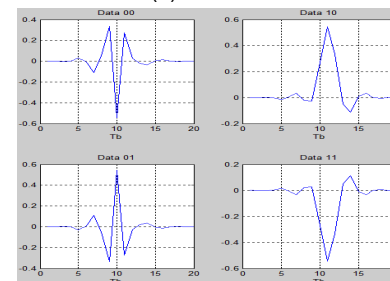
(a) Daubechies



(b) Biorthogonal



(c) Coiflet



(d) Symlet

그림 1. 4개의 웨이브릿

Fig. 1 Wavelet(Daub.,Bior.,Coif.,Sym.)

그림 2는 Daubechies 웨이브릿에서 $T_s[\text{sec}] = 0.1$ 에서 탭 개수에 따른 BER(bit error rate)을 나타내었다. 여기서 필터의 탭 수가 많을수록 비트 에러 확률이 줄어들었고, 이러한 현상은 다른 웨이브릿에서도 같은 양상을 나타내었다.

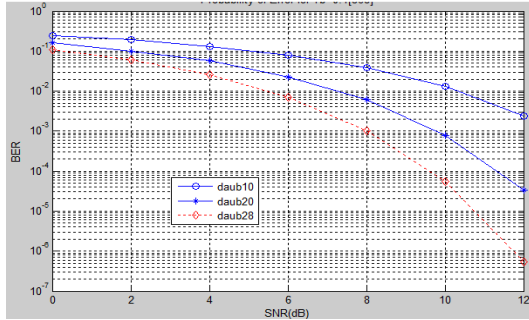


그림 2. 탭 수에 대한 BER 비교
Fig.2 Comparison of BER for number of Tap

그림 3은 필터 탭 개수가 20개이고, $\text{dB}=6$ 에서 주기의 변화에 대한 웨이브릿의 BER 비교를 나타내었다. 주기가 클수록 BER은 감소하였고, Symlet과 Coiflet 웨이브릿의 성능이 우수하였다.(Symlet과 Coiflet 웨이브릿의 성능은 거의 동일함).

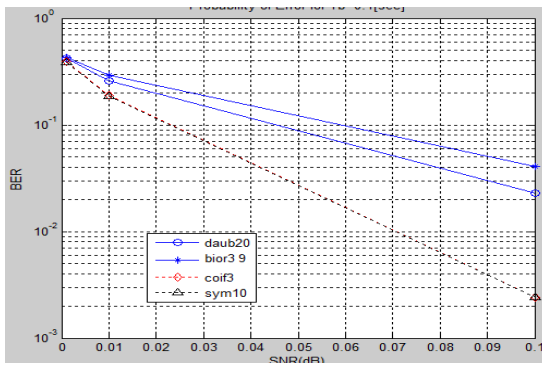


그림 3. 주기에 대한 BER 비교
Fig. 3 Comparison of BER for period

IV. 결 론

기존의 4-ary SWSK 시스템에서 비트 에러확률이 유도되었다. 그래서 본 논문에서는 4-ary SWSK 시스템에서 Daubechies, Biorthogonal, Coiflet, Symlet 웨이브릿에 대해 비트 에러확률을 실험적으로 구하였다. 실험결과 필터의 탭 수가 많을수록 비트 에러 확률은 낮아졌고, 주기가 클

수록 좋은 성능을 보였다.

감사의 글

※ 본 연구는 교육과학기술부와 한국산업기술진흥원의 지역혁신인력양성사업과 동남선도사업단 사업의 지원으로 수행된 연구결과임.

참 고 문 헌

- [1] 이승훈, 윤동한, 웨이브릿 변환 이론 및 적용, 보성각, 2004.
- [2] N.J Fliege, Multirate Digital Signal Processing, JOHN WILEY & SONS, 1994.
- [3] C.Sidney, Ramesh A.Gopinath, and Haitao Guo, Introduction to Wavelet and Wavelet Transforms, Prentice-Hall, 1998.
- [4] 정태일, "스케일링 함수와 웨이브릿을 이용한 잡음에 강인한 새로운 웨이브릿 편이변조 시스템" 신호처리 시스템 학회 논문지, 제9권, 2호, pp.98-103, 2008
- [5] 정태일, 김은주, "웨이브릿 편이변조 시스템에서 웨이브릿에 대한 성능분석", 한국해양정보통신학회 논문지, 제13권 8호, pp.1580-1586, 2009.
- [6] 정태일, 유태경, 김종남, 문광석, 김현덕, "4-ary 스케일링 웨이브릿 편이변조 시스템의 성능분석에 관한 연구", 한국해양정보통신학회 논문지, 제14권 5호, pp.1155-1163, 2010.